

# Technische Information / Technical Information

IGBT-Module  
IGBT-Modules

## FZ 1200 R 33 KF2\_B5

**eupec**



**vorläufige Daten**  
**preliminary data**

### Höchstzulässige Werte / Maximum rated values

#### Elektrische Eigenschaften / Electrical properties

Kollektor-Emitter-Sperrspannung collector-emitter voltage	$T_{vj} = 25^{\circ}\text{C}$ $T_{vj} = -25^{\circ}\text{C}$	$V_{CES}$ $V_{CES}$	3300 3300	V V
Kollektor-Dauergleichstrom DC-collector current	$T_C = 80^{\circ}\text{C}$ $T_C = 25^{\circ}\text{C}$	$I_{C,nom.}$ $I_C$	1200 2000	A A
Periodischer Kollektor Spitzenstrom repetitive peak collector current	$t_p = 1 \text{ ms}, T_C = 80^{\circ}\text{C}$	$I_{CRM}$	2400	A
Gesamt-Verlustleistung total power dissipation	$T_C=25^{\circ}\text{C}$ , Transistor	$P_{tot}$	14,7	kW
Gate-Emitter-Spitzenspannung gate-emitter peak voltage		$V_{GES}$	+/- 20V	V
Dauergleichstrom DC forward current		$I_F$	1200	A
Periodischer Spitzenstrom repetitive peak forw. current	$t_p = 1 \text{ ms}$	$I_{FRM}$	2400	A
Grenzlastintegral der Diode $I^2t$ - value, Diode	$V_R = 0V, t_p = 10\text{ms}, T_{vj} = 125^{\circ}\text{C}$	$I^2t$	444	$\text{k A}^2\text{s}$
Spitzenverlustleistung der Diode maximum power dissipation diode	$T_{vj} = 125^{\circ}\text{C}$	$P_{RQM}$	1200	kW
Isolations-Prüfspannung insulation test voltage	RMS, $f = 50 \text{ Hz}, t = 1 \text{ min.}$	$V_{ISOL}$	10,2	kV
Teilentladungs-Aussetzspannung partial discharge extinction voltage	RMS, $f = 50 \text{ Hz}, Q_{pD} \text{ typ. } 10\text{pC (acc. To IEC 1287)}$	$V_{ISOL}$	5,1	kV

### Charakteristische Werte / Characteristic values

#### Transistor / Transistor

			min.	typ.	max.	
Kollektor-Emitter Sättigungsspannung collector-emitter saturation voltage	$I_C = 1200\text{A}, V_{GE} = 15\text{V}, T_{vj} = 25^{\circ}\text{C}$	$V_{CE \text{ sat}}$	-	3,40	4,25	V
	$I_C = 1200\text{A}, V_{GE} = 15\text{V}, T_{vj} = 125^{\circ}\text{C}$		-	4,30	5,00	V
Gate-Schwellenspannung gate threshold voltage	$I_C = 120 \text{ mA}, V_{CE} = V_{GE}, T_{vj} = 25^{\circ}\text{C}$	$V_{GE(th)}$	4,2	5,1	6,0	V
Eingangskapazität input capacitance	$f = 1\text{MHz}, T_{vj} = 25^{\circ}\text{C}, V_{CE} = 25\text{V}, V_{GE} = 0\text{V}$	$C_{res}$	-	150	-	nF
Rückwirkungskapazität reverse transfer capacitance	$f = 1\text{MHz}, T_{vj} = 25^{\circ}\text{C}, V_{CE} = 25\text{V}, V_{GE} = 0\text{V}$	$C_{res}$	-	8	-	nF
Gateladung gate charge	$V_{GE} = -15\text{V} \dots +15\text{V}$	$Q_G$	-	22	-	$\mu\text{C}$
Kollektor-Emitter Reststrom collector-emitter cut-off current	$V_{CE} = 3300\text{V}, V_{GE} = 0\text{V}, T_{vj} = 25^{\circ}\text{C}$	$I_{CES}$	-	-	5	mA
Gate-Emitter Reststrom gate-emitter leakage current	$V_{CE} = 0\text{V}, V_{GE} = 20\text{V}, T_{vj} = 25^{\circ}\text{C}$	$I_{GES}$	-	-	400	nA

prepared by: Alfons Wiesenthal

date of publication : 2002-10-31

approved by: Christoph Lübke

revision: 2.0

# Technische Information / Technical Information

IGBT-Module  
IGBT-Modules

## FZ 1200 R 33 KF2\_B5

**eupec**



**vorläufige Daten**  
**preliminary data**

### Charakteristische Werte / Characteristic values

#### Transistor / Transistor

			min.	typ.	max.	
Einschaltverzögerungszeit (ind. Last) turn on delay time (inductive load)	$I_C = 1200 \text{ A}, V_{CE} = 1800 \text{ V}$	$t_{d,on}$	-	0,70	-	$\mu\text{s}$
	$V_{GE} = \pm 15 \text{ V}, R_G = 2,7 \Omega, C_{GE} = 220 \text{ nF}, T_{vj} = 25^\circ\text{C}$					
	$V_{GE} = \pm 15 \text{ V}, R_G = 2,7 \Omega, C_{GE} = 220 \text{ nF}, T_{vj} = 125^\circ\text{C}$					
Anstiegszeit (induktive Last) rise time (inductive load)	$I_C = 1200 \text{ A}, V_{CE} = 1800 \text{ V}$	$t_r$	-	0,45	-	$\mu\text{s}$
	$V_{GE} = \pm 15 \text{ V}, R_G = 2,7 \Omega, C_{GE} = 220 \text{ nF}, T_{vj} = 25^\circ\text{C}$					
	$V_{GE} = \pm 15 \text{ V}, R_G = 2,7 \Omega, C_{GE} = 220 \text{ nF}, T_{vj} = 125^\circ\text{C}$					
Abschaltverzögerungszeit (ind. Last) turn off delay time (inductive load)	$I_C = 1200 \text{ A}, V_{CE} = 1800 \text{ V}$	$t_{d,off}$	-	1,90	-	$\mu\text{s}$
	$V_{GE} = \pm 15 \text{ V}, R_G = 1,8 \Omega, C_{GE} = 220 \text{ nF}, T_{vj} = 25^\circ\text{C}$					
	$V_{GE} = \pm 15 \text{ V}, R_G = 1,8 \Omega, C_{GE} = 220 \text{ nF}, T_{vj} = 125^\circ\text{C}$					
Fallzeit (induktive Last) fall time (inductive load)	$I_C = 1200 \text{ A}, V_{CE} = 1800 \text{ V}$	$t_f$	-	0,20	-	$\mu\text{s}$
	$V_{GE} = \pm 15 \text{ V}, R_G = 1,8 \Omega, C_{GE} = 220 \text{ nF}, T_{vj} = 25^\circ\text{C}$					
	$V_{GE} = \pm 15 \text{ V}, R_G = 1,8 \Omega, C_{GE} = 220 \text{ nF}, T_{vj} = 125^\circ\text{C}$					
Einschaltverlustenergie pro Puls turn-on energy loss per pulse	$I_C = 1200 \text{ A}, V_{CE} = 1800 \text{ V}, V_{GE} = 15 \text{ V}$ $R_G = 1,5 \Omega, C_{GE} = 220 \text{ nF}, T_{vj} = 125^\circ\text{C}, L_S = 40 \text{ nH}$	$E_{on}$	-	2900	-	mWs
Abschaltverlustenergie pro Puls turn-off energy loss per pulse	$I_C = 1200 \text{ A}, V_{CE} = 1800 \text{ V}, V_{GE} = 15 \text{ V}$ $R_G = 1,8 \Omega, C_{GE} = 220 \text{ nF}, T_{vj} = 125^\circ\text{C}, L_S = 40 \text{ nH}$	$E_{off}$	-	1600	-	mWs
Kurzschlußverhalten SC Data	$t_p \leq 10 \mu\text{sec}, V_{GE} \leq 15 \text{ V}$ $T_{vj} \leq 125^\circ\text{C}, V_{CC} = 2500 \text{ V}, V_{CEmax} = V_{CES} - L_{sCE} \cdot di/dt$	$I_{SC}$	-	6000	-	A
Modulinduktivität stray inductance module		$L_{sCE}$	-	18	-	nH
Modul-Leitungswiderstand, Anschlüsse - Chip lead resistance, terminals - chip	$T_C = 25^\circ\text{C}$	$R_{CC+EE}$	-	0,12	-	m $\Omega$

### Charakteristische Werte / Characteristic values

#### Diode / Diode

			min.	typ.	max.	
Durchlaßspannung forward voltage	$I_F = 1200 \text{ A}, V_{GE} = 0 \text{ V}, T_{vj} = 25^\circ\text{C}$	$V_F$	-	2,80	3,50	V
	$I_F = 1200 \text{ A}, V_{GE} = 0 \text{ V}, T_{vj} = 125^\circ\text{C}$					
Rückstromspitze peak reverse recovery current	$I_F = 1200 \text{ A}, -di_F/dt = 4600 \text{ A}/\mu\text{sec}$	$I_{RM}$	-	1250	-	A
	$V_R = 1800 \text{ V}, V_{GE} = -10 \text{ V}, T_{vj} = 25^\circ\text{C}$					
	$V_R = 1800 \text{ V}, V_{GE} = -10 \text{ V}, T_{vj} = 125^\circ\text{C}$					
Sperrverzögerungsladung recovered charge	$I_F = 1200 \text{ A}, -di_F/dt = 4600 \text{ A}/\mu\text{sec}$	$Q_r$	-	710	-	$\mu\text{As}$
	$V_R = 1800 \text{ V}, V_{GE} = -10 \text{ V}, T_{vj} = 25^\circ\text{C}$					
	$V_R = 1800 \text{ V}, V_{GE} = -10 \text{ V}, T_{vj} = 125^\circ\text{C}$					
Abschaltenergie pro Puls reverse recovery energy	$I_F = 1200 \text{ A}, -di_F/dt = 4600 \text{ A}/\mu\text{sec}$	$E_{rec}$	-	680	-	mWs
	$V_R = 1800 \text{ V}, V_{GE} = -10 \text{ V}, T_{vj} = 25^\circ\text{C}$					
	$V_R = 1800 \text{ V}, V_{GE} = -10 \text{ V}, T_{vj} = 125^\circ\text{C}$					

# Technische Information / Technical Information

IGBT-Module  
IGBT-Modules

## FZ 1200 R 33 KF2\_B5

**eupec**



**vorläufige Daten**  
**preliminary data**

### Thermische Eigenschaften / Thermal properties

		min. typ. max.				
Innerer Wärmewiderstand thermal resistance, junction to case	Transistor / transistor, DC	$R_{thJC}$	-	-	0,0085	K/W
	Diode/Diode, DC		-	-	0,0170	K/W
Übergangs-Wärmewiderstand thermal resistance, case to heatsink	pro Modul / per module $\lambda_{paste} = 1 \text{ W/m}^2\text{K} / \lambda_{grease} = 1 \text{ W/m}^2\text{K}$	$R_{thCK}$	-	0,006	-	K/W
Höchstzulässige Sperrschichttemperatur maximum junction temperature		$T_{vj\ max}$	-	-	150	°C
Betriebstemperatur operation temperature		$T_{vj\ op}$	-40	-	125	°C
Lagertemperatur storage temperature		$T_{stg}$	-40	-	125	°C

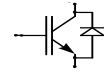
### Mechanische Eigenschaften / Mechanical properties

Gehäuse, siehe Anlage case, see appendix						
Material Modulgrundplatte material of module baseplate				AlSiC		
Innere Isolation internal insulation				AlN		
Kriechstrecke creepage distance				56		mm
Luftstrecke clearance				26		mm
CTI comperative tracking index				> 600		
Anzugsdrehmoment f. mech. Befestigung mounting torque	Schraube M6 / screw M6	M	4,25	-	5,75	Nm
Anzugsdrehmoment f. elektr. Anschlüsse terminal connection torque	Anschlüsse / terminals M4	M	1,8		2,1	Nm
	Anschlüsse / terminals M8	M	8		10	Nm
Gewicht weight		G	1400			g

Mit dieser technischen Information werden Halbleiterbauelemente spezifiziert, jedoch keine Eigenschaften zugesichert.

Sie gilt in Verbindung mit den zugehörigen Technischen Erläuterungen.

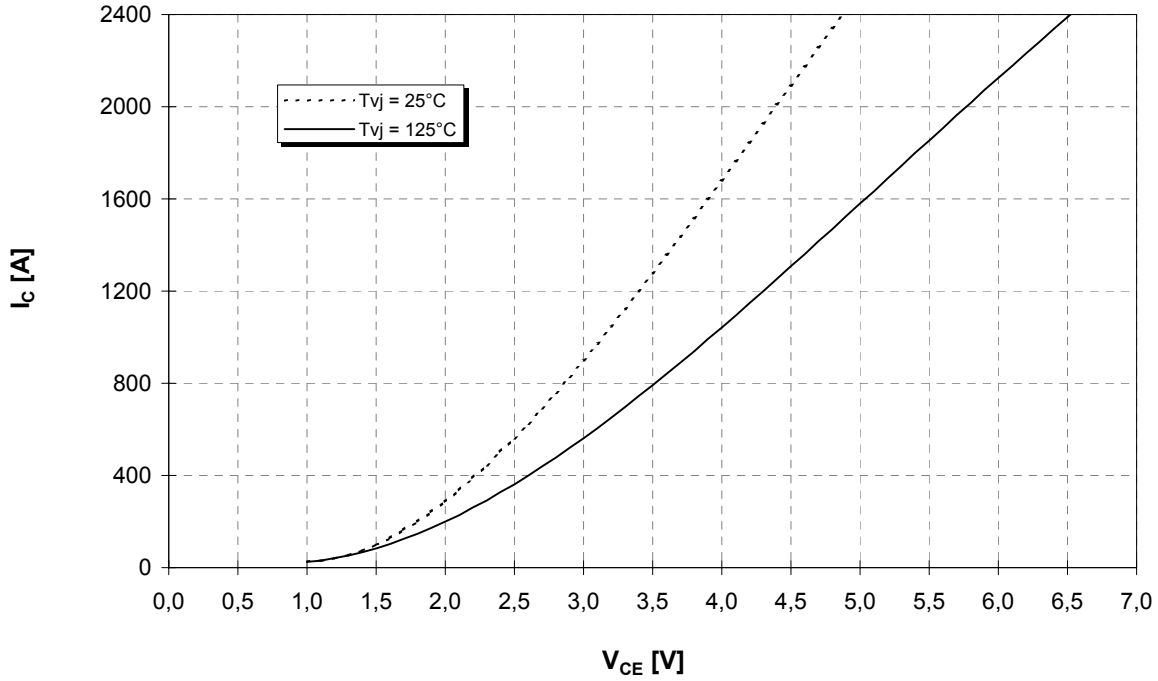
This technical information specifies semiconductor devices but promises no characteristics. It is valid in combination with the belonging technical notes.



vorläufige Daten  
preliminary data

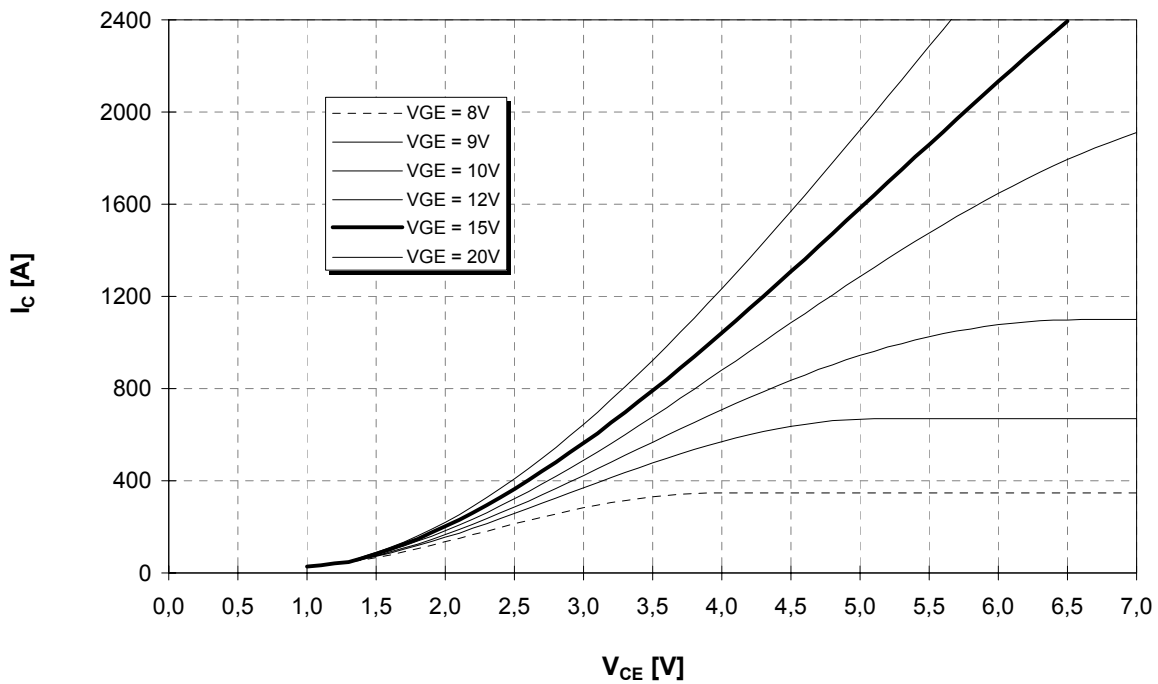
Ausgangskennlinie (typisch)  
Output characteristic (typical)

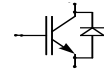
$I_c = f(V_{CE})$   
 $V_{GE} = 15V$



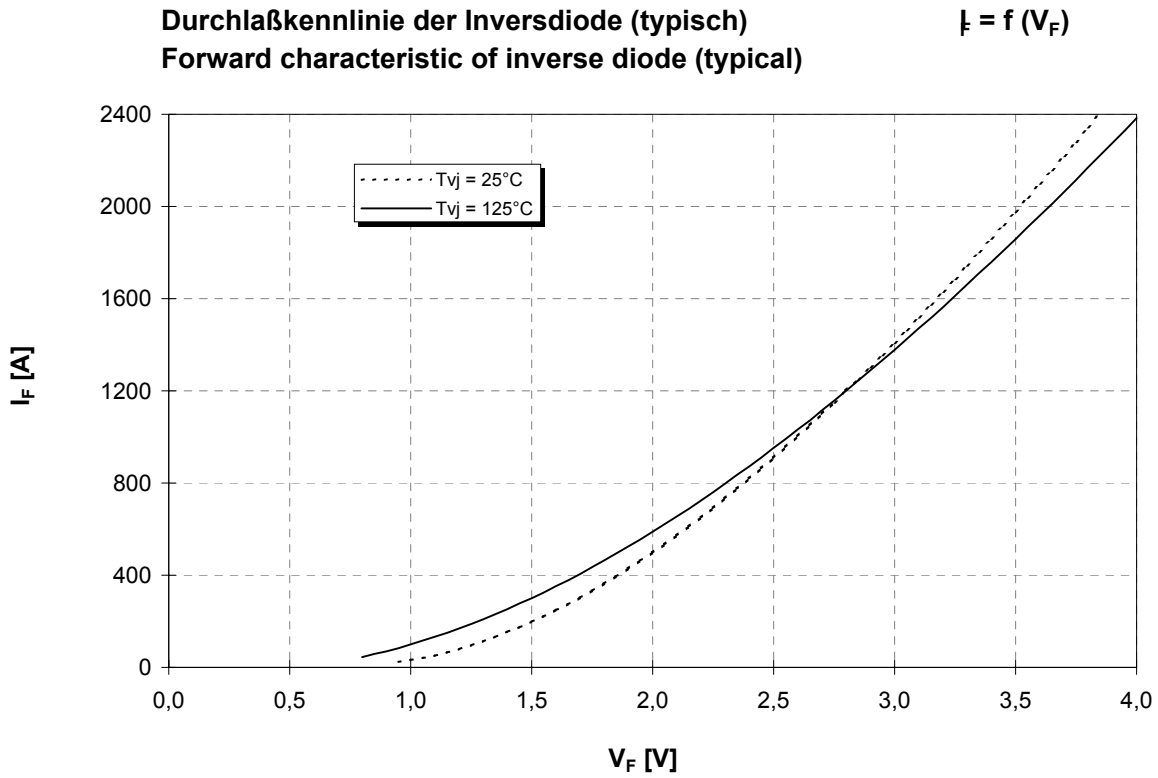
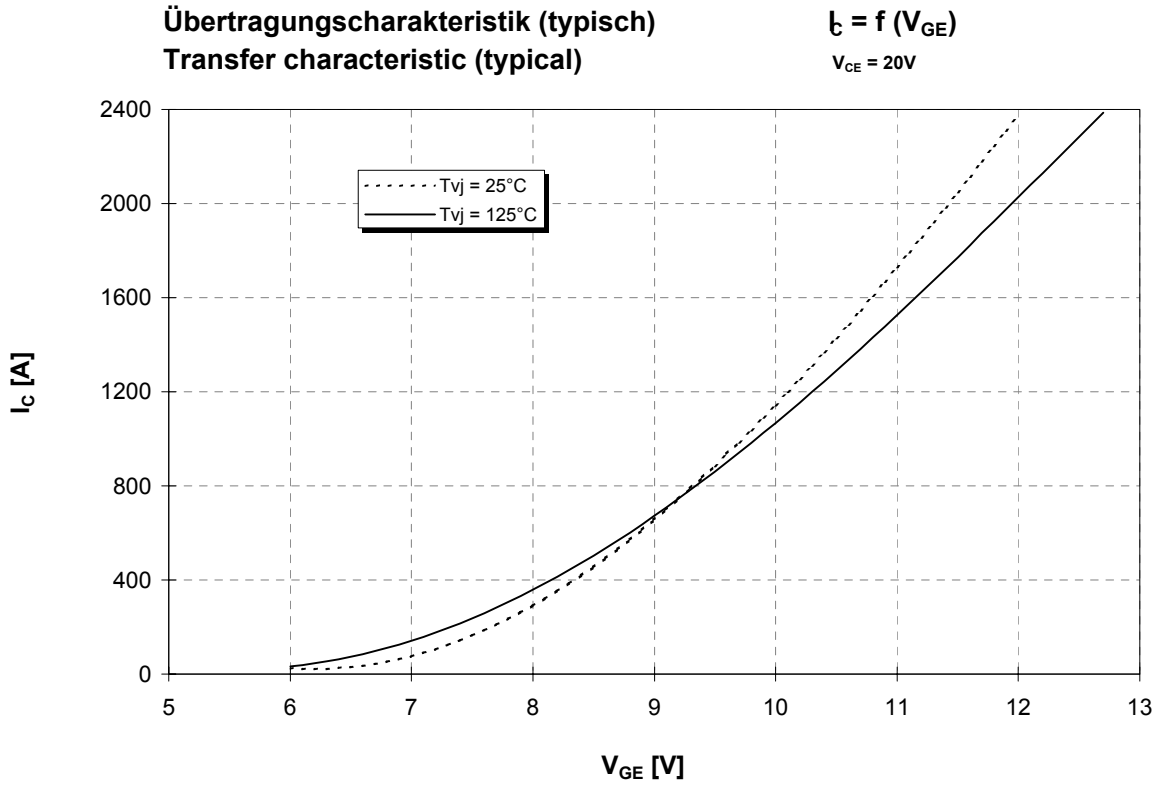
Ausgangskennlinienfeld (typisch)  
Output characteristic (typical)

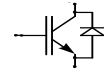
$I_c = f(V_{CE})$   
 $T_j = 125^\circ C$





vorläufige Daten  
preliminary data



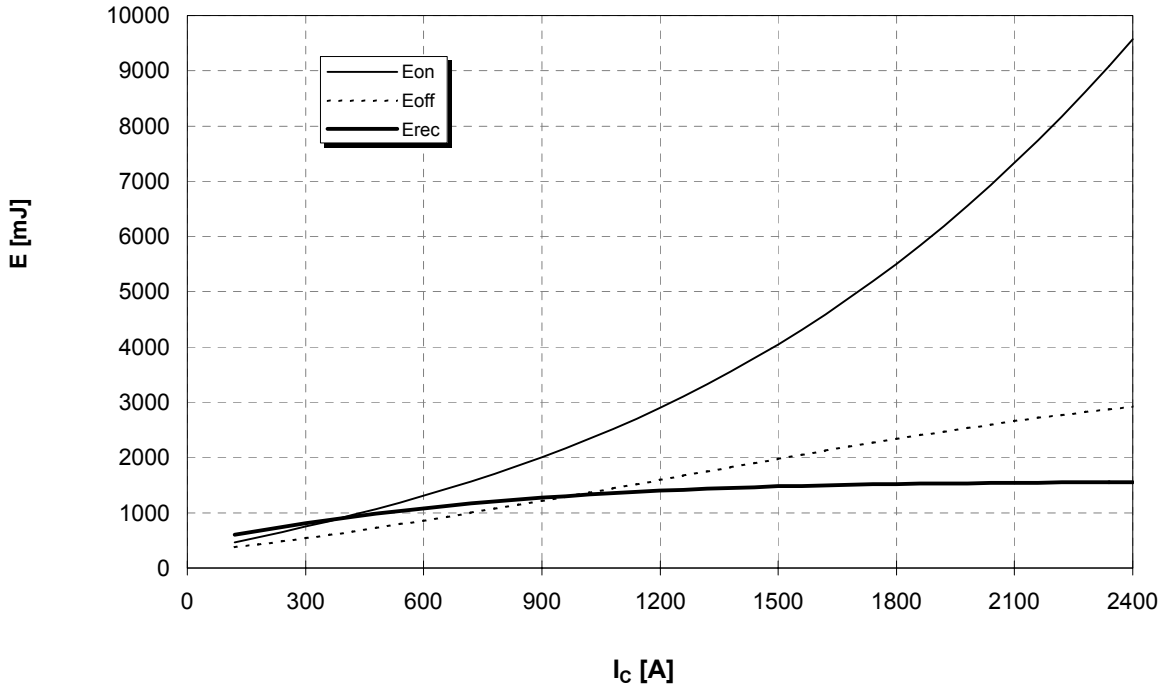


vorläufige Daten  
preliminary data

Schaltverluste (typisch)  
Switching losses (typical)

$$E_{on} = f(I_C), E_{off} = f(I_C), E_{rec} = f(I_C)$$

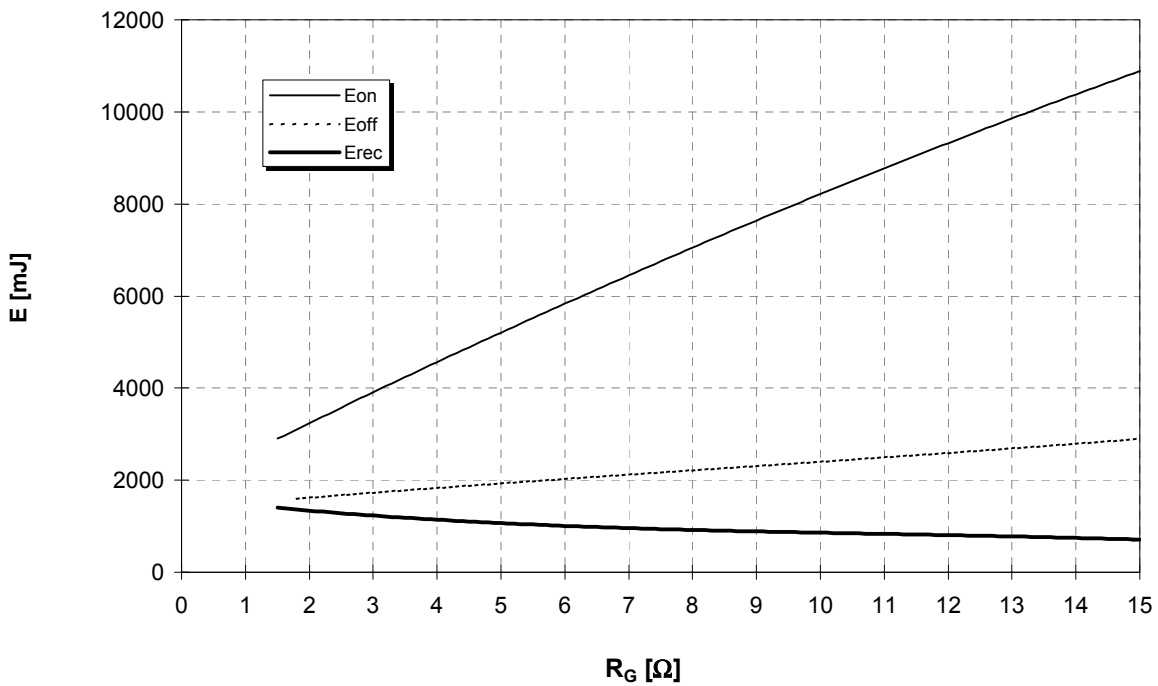
$T_{vj}=125^{\circ}\text{C}, V_{CE} = 1800\text{V}, V_{GE}=\pm 15\text{V}, R_{Gon} = 1,5 \Omega, R_{Goff} = 1,8 \Omega, C_{GE} = 220 \text{ nF}$

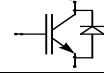


Schaltverluste (typisch)  
Switching losses (typical)

$$E_{on} = f(R_G), E_{off} = f(R_G), E_{rec} = f(R_G)$$

$T_{vj} = 125^{\circ}\text{C}, I_C = 1200 \text{ A}, V_{CE} = 1800\text{V}, V_{GE} = \pm 15\text{V}, C_{GE} = 220 \text{ nF}$

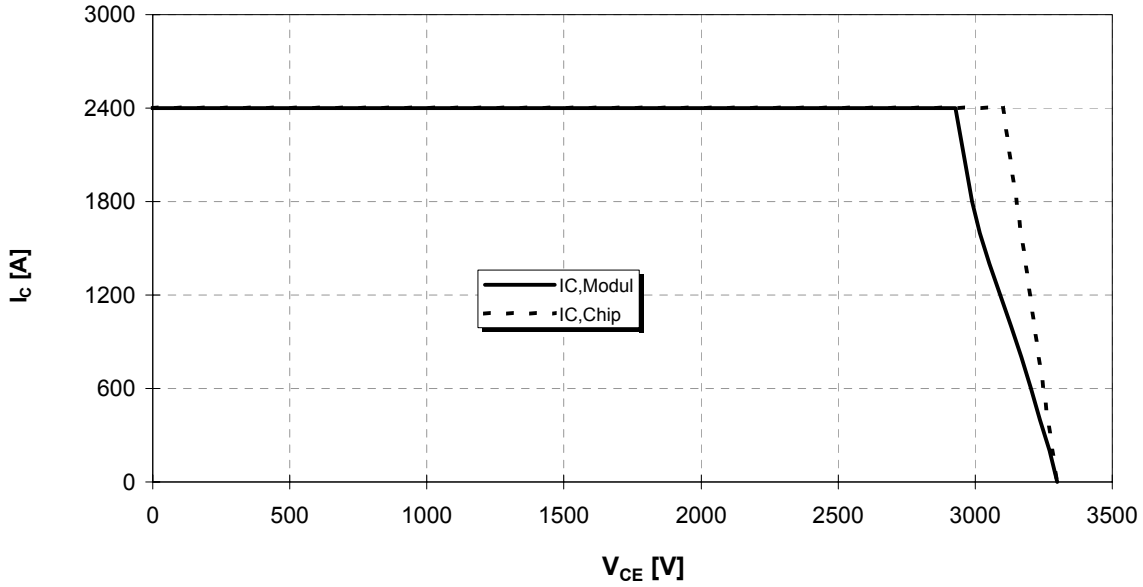




**vorläufige Daten**  
**preliminary data**

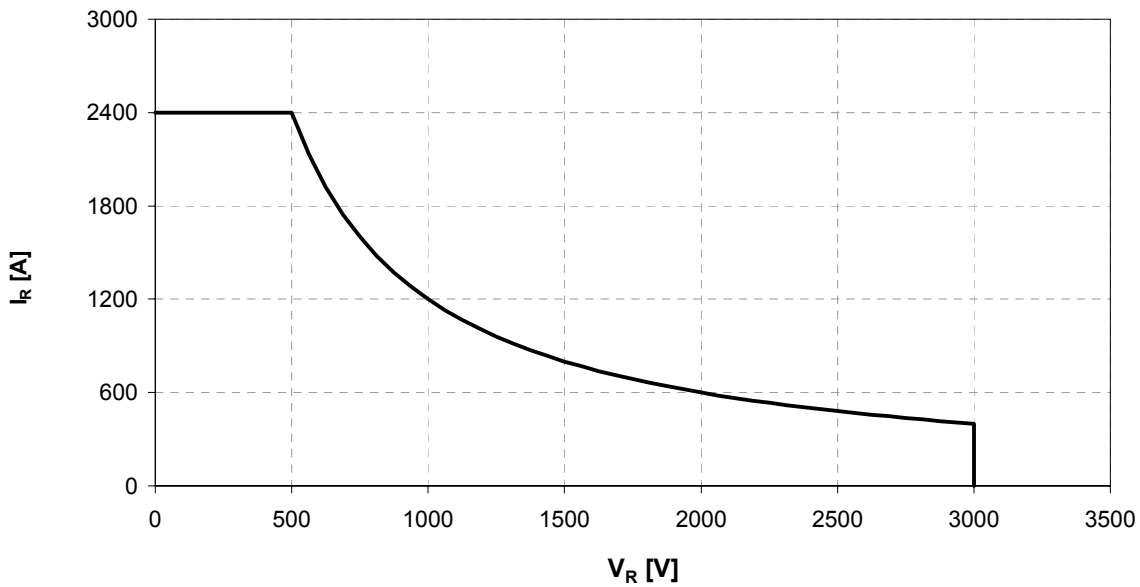
**Sicherer Arbeitsbereich IGBT (RBSOA)**  
**Reverse bias safe operation area IGBT (RBSOA)**

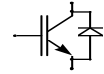
$V_{GE} = \pm 15V$ ,  $R_{G,off} = 1,8\Omega$ ,  $C_{GE} = 220\text{ nF}$   
 $T_{vj} = 125^\circ\text{C}$



**Sicherer Arbeitsbereich Diode (SOA)**  
**safe operation area Diode (SOA)**

$T_{vj} = 125^\circ\text{C}$

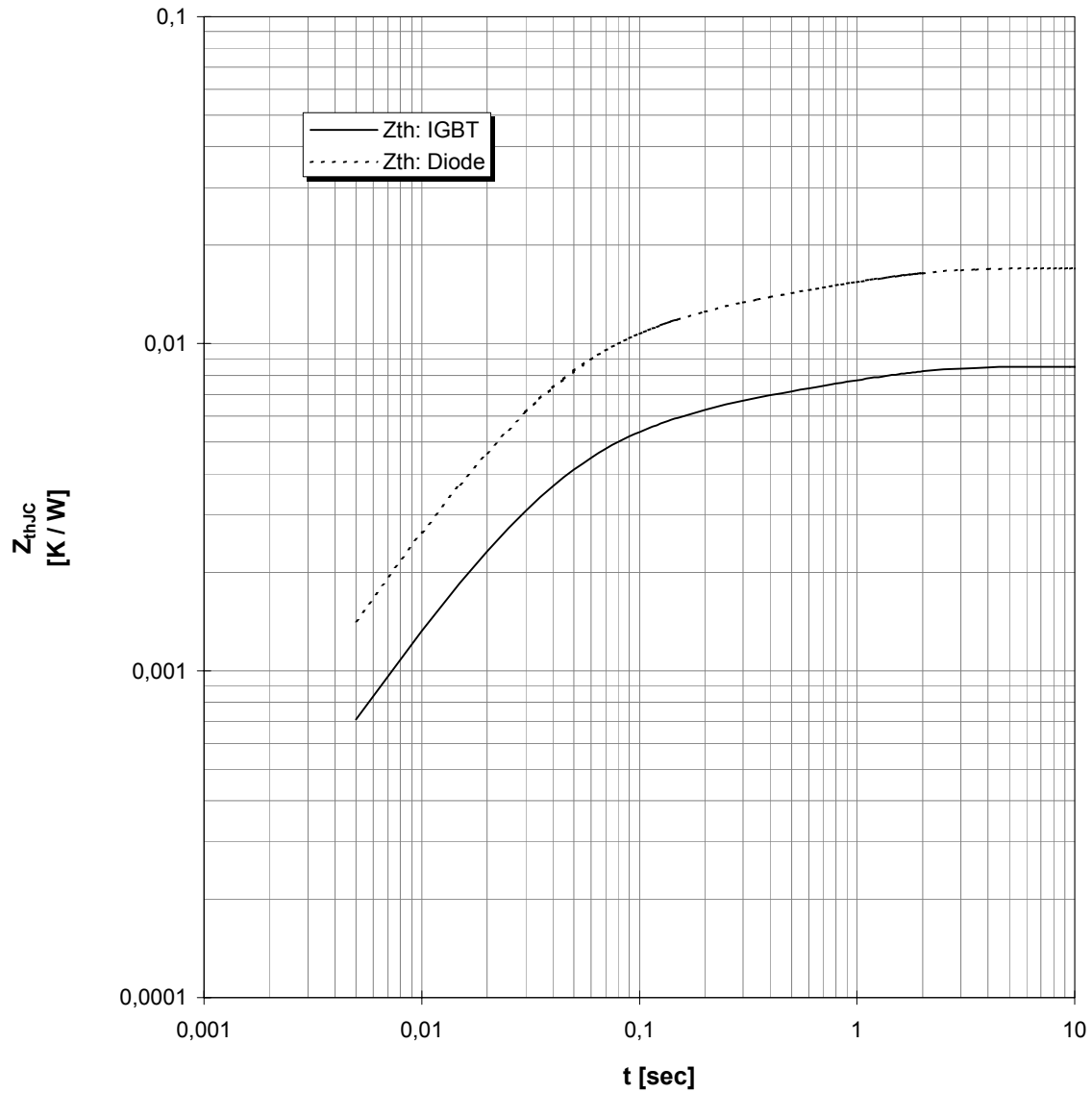




vorläufige Daten  
preliminary data

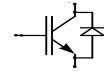
**Transienter Wärmewiderstand**  
**Transient thermal impedance**

$$Z_{thJC} = f(t)$$



i	1	2	3	4
$r_i$ [K/kW] : IGBT	3,83	2,13	0,51	2,04
$\tau_i$ [sec] : IGBT	0,03	0,10	0,30	1,00
$r_i$ [K/kW] : Diode	7,65	4,25	1,02	4,08
$\tau_i$ [sec] : Diode	0,03	0,10	0,30	1,00





vorläufige Daten  
preliminary data

Äußere Abmessungen /  
external dimensions

